

北京图书馆藏

48723 /

难熔金属文集

(第二屆)

难熔金属文集编辑组编

.4

前 言

冶金工业部第二届难熔金属学术交流会议决定编辑出版《第二届难熔金属文集》，由宝鸡有色金属研究所、有色金属研究院、钢铁研究院、金属研究所、沈阳有色金属加工厂、中南矿冶学院等单位负责《文集》审编工作，并委托《稀有金属合金加工》编辑部负责出版工作。

根据会议推荐和编辑小组审查，本《文集》收集了钨、钼、钽、铌等金属及其合金熔炼、加工、焊接、涂层、应用等方面的科研报告和技术总结共29篇。

本《文集》的出版，将对加强学术交流、促进国民经济迅速发展起一定的推动作用，由于我们水平有限，缺点、错误在所难免；望广大读者批评指正。

6779/14

目 录

合 金

高比重合金的研究与应用.....	冶金部钢铁研究院 (1)
钼合金中的碳化物.....	沈阳有色金属加工厂 (9)
退火温度对Mo-0.5Ti-0.02C合金薄板组织和性能的影响	冶金部金属研究所、沈阳有色金属加工厂 (14)
C-103钼合金的研制.....	宝鸡有色金属研究所 (21)
电子束熔炼Nb-752合金锭纵向成分不均匀性的研究.....	冶金部金属研究所 (27)
Zr-2.5Nb合金的初步研究.....	宝鸡有色金属研究所 (40)

工 艺

高温感应烧炉钨发热体的制备和使用.....	冶金部钢铁研究院 (52)
高性能钨丝的研究.....	冶金部钢铁研究院 (56)
涂钛钨丝的研制.....	宝鸡有色金属研究所 (71)
粉冶阳极钨棒的研制.....	冶金部钢铁研究院 (77)
垂熔烧结钨棒轧制工艺.....	宝鸡有色金属研究所 (86)
宽钨箔轧制工艺.....	宝鸡有色金属研究所 (99)
钼管加工及其再结晶.....	冶金部钢铁研究院 (103)
高碳 TZM 合金薄板的试制.....	沈阳有色金属加工厂 (111)

涂层、焊接

钼合金抗热震涂层的研究.....	冶金部金属研究所 (117)
加涂层焊接 Nb-752合金性能.....	冶金部金属研究所 (127)
高温抗氧化涂层的无损检验技术.....	宝鸡有色金属研究所 (138)
Cb-752 钼合金电子束焊接接头组织及性能研究 (二).....	宝鸡有色金属研究所 (144)

钼 顶 头

铸钛钼合金顶头的综合性能.....	冶金部钢铁研究院 (150)
-------------------	----------------

- TZM 粉冶钼顶头的研究冶金部钢铁研究院(159)
 TZC 粉冶钼顶头的研究.....宝鸡有色金属加工厂(170)
 高能高速锻造粉冶钼顶头的研制
冶金部有色金属研究院宝鸡有色金属加工厂(188)

应 用

- 医用X射线管旋转阳极钨靶的研制.....冶金部钢铁研究院(204)
 钨坩埚在石英玻璃连熔炉中的应用.....冶金部钢铁研究院(212)
 钨—铜、钼—铜作黑色金属压铸模材料的研究.....冶金部钢铁研究院(218)
 锆在新型农药“西维因”生产上的应用.....冶金部有色金属研究院(231)
 非蒸散型锆—铝16合金消气剂的研制及在电真空工业中的应用
冶金部有色金属研究院(235)

综 述

- 国外难熔金属合金的近期发展.....冶金部金属研究所(248)
 国外难熔金属及合金在火箭、导弹和航天技术中的应用.....七机部七〇八所(271)

T T
4
2

b779/14

高比重合金的研究与应用

冶金部钢铁研究院

摘 要

用粉末冶金方法制备W-Ni-Fe高比重合金。研究了烧结温度与合金密度及金相组织等关系，讨论了试制W-Ni-Fe合金部件的工艺参数，测定了合金的物理机械性能。并成功地试制了钴⁶⁰治疗机的高比重合金屏蔽部件，最大尺寸外径达180毫米，高120毫米，重量45公斤。两年以来试生产了近百余个大小部件，重量大约四吨。经使用鉴定表明，工艺及产品质量都是稳定的。

一、前 言

在医疗器械工业中，钴⁶⁰治疗机是治疗肿瘤的主要设备，近年来又发展了电子直线加速器治疗机，但是，这些设备原来都采用铅作屏蔽，由于铅的密度只有11.35克/厘米³，使屏蔽部件体积庞大，更重要的是铅的使用强度和刚度都不理想，设备的某些关键部位必须采用更高密度的材料(>17克/厘米³)作屏蔽。金属钨的密度19.3克/厘米³，是我国富产元素，但是纯钨很难加工，高比重W合金却是具有密度高、易加工和有较高强度的理想材料。

据文献^[1,2,4]报导，高比重合金应用到工程上已有四十年的历史。高比重合金一般是指含90~98%W、少量Ni、Fe、Cu、Cr、Mo和Co等元素的三元合金，综合起来，主要是W-Ni-Fe和W-Ni-Cu两个系列。这些合金具有重要的工程性能：(1)密度高(17~18.5克/厘米³)；(2)热膨胀系数低(4~6×10⁻⁶/°C)；(3)容易加工；(4)导热性能好(0.2~0.3CGS单位)；(5)强度较高(77~100公斤/毫米²)。广泛应用在射线的屏蔽方面，如同位素源的容器及放射性治疗的γ射线屏蔽等；用作惯性元件方面，如陀螺转子、飞机翼配重、自动手表振子等；用作电接触材料方面，如大负荷火花塞等；还用军在军工方面，如穿甲弹的弹芯等^[3,3,4,5]，近年来在黑色金属压铸模具方面也得到了应用^[6]。此外，对高比重钨合金的若干理论问题，也开展了不少研究^[10,11,12]。十多年来，我国有些单位也开展了高比重钨合金的研制工作。

二、研制方案的选择

W-Ni-Fe与W-Ni-Cu的主要差别是前者强度较高，有微磁。在使用的原



A799100

料中钨粉便宜,且适合大量生产。从具体成分讲,W-Ni-Fe合金是两相结构,典型的组成是:含90~96%W, Ni/Fe比值为7:3时,一相是Ni-Fe-W固溶体相(大致成分为50%Ni-20%Fe-30W),也叫粘结相,熔点1465℃;另一相是W颗粒,溶解少量Ni与Fe(0.3%和0.8%)的硬质相^[6],合金中W含量主要影响烧结坯的密度。文献^[7]系统研究了Ni/Fe比值对合金性能的影响,W含量为95%,Ni/Fe比值为1时,合金强度、塑性都较好。并指出:烧结后的冷却速度对合金的强度、塑性影响较大,快速冷却(60℃/分)与慢冷(5℃/分)相比,合金的抗张强度与延伸率都高。文献^[1]也报导了同样的结果。高比重钨合金的制备工艺,都采用粉末冶金的液相烧结法。原料是细颗粒钨粉、镍粉及铁粉,粒度3~5微米。干混料,加成型剂石蜡后,油静压机成型;或用Ni及Fe的硝酸盐与W粉固液法制备混合料,然后加石蜡油静压机成型,烧结温度1450~1480℃^[8,7]。在前人工作的基础上,根据Co⁶⁰治疗机对屏蔽部件的要求(密度>17克/厘米³;易于机加工和具有一定的强度),考虑生产条件的可能;选定了如下的研制方案:合金组成为95%W-2.5%Ni-2.5%Fe, W、Ni、Fe三种粉末干混→等静压成型→通氢钼丝炉烧结。

三、研制工艺与结果讨论

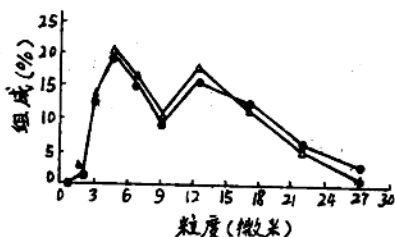


图1 W粉的粒度组成分布

粉, -200目。粉末化学成份列入表1。

粉末原料的化学成份(%) 表1

原 料	Cu	Mn	Mg	Si	Cr	Ni	C	S
羰基Fe粉	<0.005	<0.002	<0.002	0.012	<0.005	0.009	0.78	—
轧钢厂Fe粉	0.027	0.27	0.0064	0.14	0.0088	0.014	0.079	0.007
Ni粉	0.024	0.0067	0.056	0.025	—	—	—	—

根据材料的使用要求选择适合的混料方法。采用固液法制备的包复合金粉末,它使合金组份较均匀地混合,改善烧结合金结构和性能^[13],但是一般认为,干粉长时间混合,可以达到同样的效果^[7]。而后者操作简便,适合于大量生产。我们混料是在300×380筒型球磨机中干混的。不同混料时间的结果可认为,经过12小时后基本达到均匀。

混料12小时后，取样分析结果是：

编号	Ni (%)	Fe (%)
33—1	2.13	2.60
33—2	2.10	2.60

2. 成型

在高压缸内径为 $\phi 400$ 毫米的等静压机上压制成型。试样为 $\phi 25$ 的圆棒，成型压力2000公斤/厘米²，压制后生坯密度达到合金理论密度（18.1克/厘米³）的60%左右。成型的线收缩大约20%。压制大部件时，采用了橡胶套装粉，放入钢筒内定形，压制后的生坯在车床上粗整形，粉末利用率大约77%（压成的生坯，切成两个部件）。

高比重合金大部件的压制结果 表 2

坯料号	成品尺寸 (毫米)	装入料重 (公斤)	整形后生坯 尺寸(毫米)	单重 (公斤)	粉末利用率 (%)
1	$\phi 180(\pm 0.0) \times 120$	120	$\phi 215(\pm 0.0) \times 139$	45	77.5
2	$\phi 180(\pm 0.0) \times 120$		$\phi 215(\pm 0.0) \times 145$	48	
3	$\phi 140 \times 75$	62	$\phi 172 \times 90$	24	77.4
4	$\phi 140 \times 75$		$\phi 172 \times 90$	24	

3. 烧结温度对合金密度及性能的影响

为了确定适合的烧结制度，将试样冷装入炉，随升温过程在不同温度取样，测定了试样的线收缩率。结果见图2。当温度在1300℃以下时，试样收缩很小，说明烧结过程中主要发生粉末颗粒接触与表面氧化物的还原。

在1300℃以上时，收缩增1500℃液相出现后达到最大值，由于炉温到1500℃立即取样，没有保温，估计试样线收缩仍有所增加。总之，可认为这个阶段，完全是金属颗粒接触。在表面张力作用下隙孔，被填充，试样收缩增加，当达到液相出现温度时，收缩停止，密度达到最高值。因此可以认为坯料的烧结升温制度分为三个阶段是适合的。

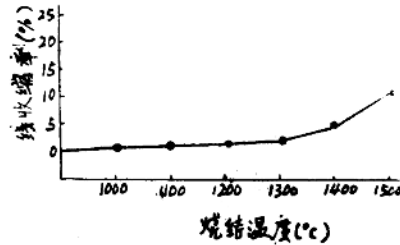


图2 烧结过程中试样的线收缩率

从室温到1000℃左右以及第二阶段即1000℃左右到1300℃，可较快升温；第三阶段即1300~1500℃，应较慢速升温。我们采取了下述升温制度：从室温到1000℃为2~2.5小时，1000~1300℃为2小时，1300~1500℃为2小时，在1500℃根据生坯尺寸，保温若干小时。没有发现烧结坯的宏观缺陷。选择适合的烧结温度对控制合金的密度、晶粒大小和机械性能有密切关系。作了1350°、1400°、1450°和1500℃不同烧结温度的试验，测定了合金的密度与硬度，结果示于图8。由图可见，烧结温度在1480~1500℃时，合金的密度17.5~18.0克/厘米³，硬度值Rc为23~27之间，合金的机加工性能良好。另一方面，从金相组织的观察中发现：烧结温度在1470℃时，已有液相出现，

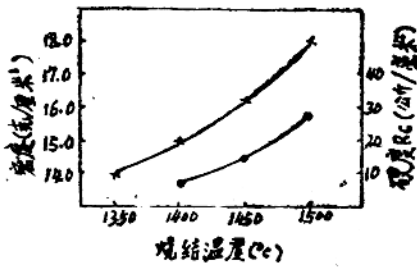


图3 烧结温度与合金密度和硬度关系

1—密度 2—硬度

率100瓦，瓶氢汇流排管道供气，氢气露点 -26°C 。烧结结果列入表3。

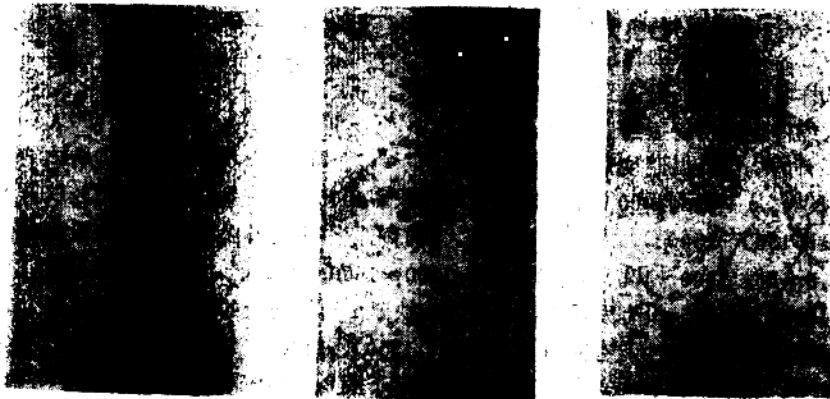
高比重合金部件烧结前后尺寸变化

表3

坯料号	坯料尺寸(毫米)		线收缩率(%)		密度 (克/厘米 ³)
	烧结前	烧结后	径向	高度	
1	$\phi 215(\pm 0.0) \times 139$	$\phi 180(\pm 0.0) \times 114$	16.3	18	17.45
2	$\phi 215(\pm 0.0) \times 145$	$\phi 180(\pm 0.0) \times 124$	15.5	14.5	
3	$\phi 172 \times 90$	$\phi 147 \times 75$	14.5	16.6	
4	$\phi 172 \times 90$	$\phi 145 \times 75$	15.7	16.6	

4. 金相观察

不同温度烧结的合金试样作了金相观察。照片见图4。由图可见，烧结温度 1470°C 和 1450°C 的区别，一是前者孔隙减少，二是Ni-Fe固溶体相聚合，但是晶粒仍然是较细的。到 1500°C 时，W晶粒长大呈球形。Ni-Fe固溶相连成一起包围W晶粒(硬质相)。



(a) 1450°C

(b) 1470°C

(c) 1500°C

图4 不同烧结温度的金相组织， $\times 200$

为了确定固溶相（即粘结相）和硬质相的成份，曾作了电子探针检验，结果见表4。由

电子探针分析（半定量）结果（%）* 表4

成 分	W	Ni	Fe
粘结相（Ni-Fe固溶体）	12.5	45.3	42.2
硬质相（W颗粒）	96.2	1.9	1.6

*电子探针分析给出三种成分的大致比例，上表是换算后的百分数，只供参考。

于提供的只是半定量数据，为了说明问题换算成百分数。由表列三种成份的百分数可以认为Ni/Fe比值都接近1：1，硬质相的主要成份是W。另外对三种温度烧结的W合金作了显微硬度测定。结果列入表5。由表5说明在烧结温度为1450°和1470°时，硬质相

不同烧结温度的合金显微硬度 表5

烧 结 温 度 (°C)	显 微 硬 度 (负荷10克)	
	硬 质 相	粘 结 相
1450	126	174
1470	196	211
1500	254	140

和粘结相的显微硬度值相差不大，是因为此时两相的晶粒都较细，混合分布，实际上无法分辨出两相的晶界；但是1500°C烧结时，W颗粒长大，硬质相突出了，而Ni-Fe固溶体包围着W颗粒，硬度值相差将近一倍。考虑到液相烧结后的金相组织中，这两个硬度不同相的性能，用扫描电子显微镜检查了拉伸试样的断口，见图5。这是室温拉伸断口的边部，由照片看到，断裂发生在硬质相（W颗粒）和固溶相的晶界上，但也发现有个别穿晶断裂的解理面，说明提高晶界的性能是提高合金常温强度的主要途径，但是硬质相（W颗粒）也不能忽视。



图5 W合金的拉伸断口金相，×600

四、烧结高比重钨合金的性能

- 1.密度为17.5~18.0克/厘米³。
- 2.硬度HRC为23~27。
- 3.热膨胀系数可分两部分：温度区间在0~500°C，使用Dp49膨胀仪测定（光学放

大原理) 误差范围 $\pm 0.1 \times 10^{-6}/^{\circ}\text{C}$; 温度区间为 $0 \sim -60^{\circ}\text{C}$ 及 $0 \sim 60^{\circ}\text{C}$ 。使用千分表膨胀仪测定, 误差范围 $\pm 0.15 \times 10^{-6}/^{\circ}\text{C}$ 。试验结果列入表6。

钨合金的热膨胀系数 表6

测试温度 ($^{\circ}\text{C}$)	热膨胀系数 $\alpha (\times 10^{-6}/^{\circ}\text{C})$
0 ~ -60	-4.48
0 ~ 60	5.16
300	5.1
400	5.2
500	5.3

4. 磁性。采用闭合回路冲击法测定, 磁场300奥斯特。

剩磁 $B_r = 273$ 高斯,

矫顽力 $H_c = 8$ 奥斯特。

5. γ 射线吸收系数 (用 Co^{60} 源)

设备用非利浦剂量仪, 窄束条件下测量。未加吸收板为 $I_0 = 250$ 伦/4分, 加吸收板为 $I = 100$ 伦/4分。换算结果见表7 (与铅比较)。

γ 射线吸收系数 表7

吸收板	密度 (克/厘米 3)	直线吸收系数 μ (厘米 $^{-1}$)	半价层厚度 (厘米)
高比重钨合金	17.45	1.017	0.68
铅	11.35	0.58	1.2

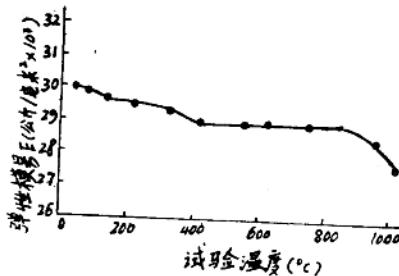


图6 高比重钨合金不同温度的弹性模量

6. 弹性模量。采用声频横振法测量弹性模量, 结果如图6所示。

7. 强度。试样取自 $\phi 20$ 毫米烧结合金棒。拉伸试样尺寸为 $M10 \times 65$, 工作部分 $\phi 5 \times 30$ 毫米。结果列入表8中。

8. 冲击韧性。带缺口试样尺寸 $5 \times 10 \times 55$ 毫米。室温冲击值: 0.5 公斤·米/厘米 2

9. 机加工性能

高比重钨合金的拉伸强度 表 8

试验温度(℃)	抗拉强度(公斤/毫米 ²)
室温	
200	50.5
500	20.0
1000	16.0

车：用BK-6或同类型硬质合金刀具。

钻孔：用高速钢合金钻头。

磨：sic砂轮，型号PTL46R₃A。

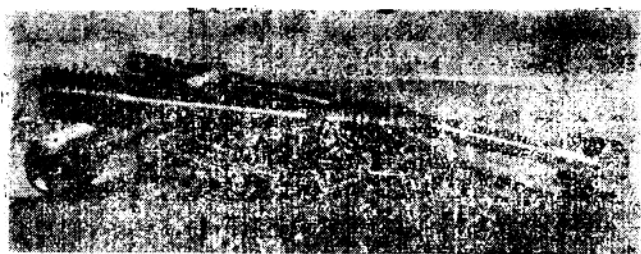


图7 高比重钨合金机加工后的实物照片

五、应用

本合金主要用作我国自行设计制造的“固定式远距离钴⁶⁰治疗机的屏蔽部件。图8是山东新华医疗器械厂生产的Co⁶⁰治疗机的照片。高比重钨合金装在机头部位，包括Co⁶⁰源防护块、准直仪、翼形防护组件和消半影块等部件，全部采用本合金。一九七四年无锡市江宁机械厂也按同类型号试制2台，并交付医院使用。西南医用设备厂也装配多台Co⁶⁰治疗机。此外，本合金还为“后装Co⁶⁰子宫癌治疗机”作防护叶片。还用作“低能子源荧光分析仪”的屏蔽元件等。图9、10是高比重钨合金部件的毛坯。



图8 Co⁶⁰治疗机照片

六、结论

1. 用粉末冶金方法制备了95%W-2.5%Ni-2.5%Fe合金，研究了烧结温度与合金



图9 Co⁶⁰源高比重钨合金防护块

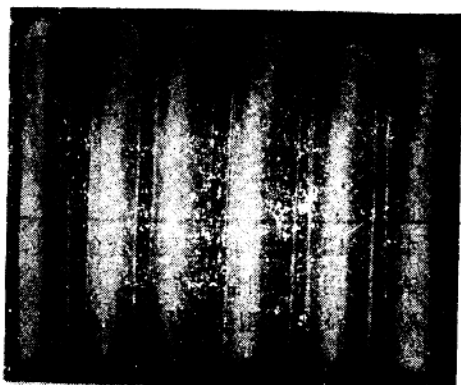


图10 后装Co⁶⁰治疗机防护叶片

密度及金相组织的关系。认为采用三种粉末干混、等静压成型的试样，在 $\sim 1500^{\circ}\text{C}$ 液相烧结后，可达到最高的相对密度98~99%。满足了Co⁶⁰治疗机的屏蔽部件要求。

2. 试验确定了生产Co⁶⁰治疗机钨合金部件的工艺参数：采用株州硬质合金厂生产的工业纯细W粉，电解Ni粉及轧钢厂生产的铁鳞还原Fe粉，混料时间12小时，成型压力 2000 公斤/厘米²，烧结温度 $\sim 1500^{\circ}\text{C}$ ，保温3~4小时，产品密度 > 17 克/厘米³。

3. 测定了95%W-2.5%Ni-2.5%Fe合金的物理和力学性能，该合金的机加工是不困难的。

4. 从这种合金试生产一百多个部件的结果看来，工艺可以基本定型，逐步转厂生产，以解决国家的需要。

参 考 文 献

- [1] 《Modern Development in powder Metallurgy》，Vol.3, 1966.
- [2] 《The Canadian Mining & Metallurgical Bulletin》，Vol.58, №636, P.413, 1965.
- [3] 《Powder Metallurgy International》，Vol.5, №3, p.125, 1973.
- [4] 《Powder Metallurgy》，Vol.20, №20, p156, 1967.
- [5] 《金属材料》，Vol.9, №5, p111, 1969.
- [6] 《金属材料》，Vol.12, №6, p27, 1972.
- [7] 《粉体および粉末冶金》Vol.10, №5, p189, 1963.
- [8] 日本厂商厂1973年来华技术座谈资料（科技情报所）。
- [9] 《AEC-Report Y-1675》，1969.
- [10] 《AD-288915》。
- [11] 《Trans. Met. Soc. of ATME》，Vol.227, p.1127, 1963.
- [12] 《Порошковая Металлургия》，№5, Стр.73及№6, Стр61, 1938.

钼合金中的碳化物

沈阳有色金属加工厂

徐振声 康桂荣

碳具有明显提高钼及其合金的再结晶温度和热强性的作用，已被人们重视。此外，碳对真空脱氧又是十分有利的。所以在钼合金中添加一定数量的碳，是目前国内外研制钼合金的一条重要途径。例如，为了提高Mo—0.5Ti合金的再结晶温度，采用加碳的办法，效果显著，而使TZM、TZC合金具有高的再结晶温度和高温强度，其中碳的加入是非常必要的。因此，对钼合金中碳的作用本质，应该有所了解。

现将我们在生产试制TZM合金中对碳的行为所做的观察作一概要总结，以供参考。

一、碳在中钼的行为

根据Mo—C状态图，可知常温下碳在钼中的固溶度很小。有的资料^[1]报导：在2100℃~2200℃时，碳在钼中能达到最大溶解度，但其值仅为0.02%（重量）；有的资料报导：在2500℃时，碳在钼中能达到最大溶解度，其值为0.04%（重量）。并且，由于钼和碳本身原子结构的不同，电子结构，电化学性质差异较大，以及晶格结构的特点和受加工造成晶格畸变等因素的影响，使碳在钼中的溶解，常以偏聚态存在。比如，碳进入变形钼的晶格中多集中分布在(111)面上^[2]。所以，碳在钼及其合金中主要以碳化物形式出现。由金相观察、X—光分析、不同制度热处理，显微硬度测定表明，TZM合金中存在的碳化物基本有三种类型：Mo₂C、TiC、ZrC。

Mo₂C在明场下观察为白亮色并稍带淡黄，暗场为暗黑色，偏振光下反映出具有较弱的各向异性。而碳化钛、碳化锆的金相特征仅能在腐蚀后的试面观察为较小弥散点状物。这也为X—射线分析所证实。同时对不同制度热处理的样品观察，Mo₂C、TiC、ZrC的变化情况所得结果是与资料^[3,10***]基本相同。这些碳化物的数量多寡、形状、大小、分布位置以及变化情况与该合金所处状态有密切关系。

二、不同状态下的碳化物

1.在真空电弧炉熔炼的铸态TZM合金中，主要存在明显易见的Mo₂C相，其颜色为白亮稍带淡黄，以不同形状、大小不一分布于晶内，而在晶界上呈网链状分布，如图1，

同时在部分晶界处又有Mo (Ti、Zr) 和 Mo_2C 的共晶存在，如图2。

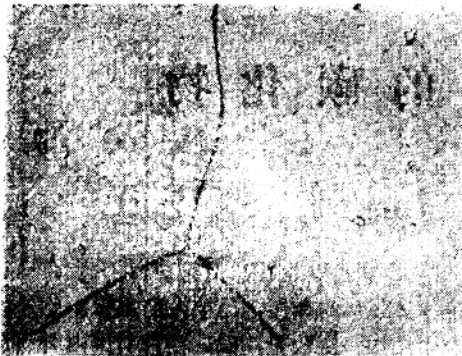


图1 铸态组织400×



图2 铸态组织500×

2. 挤压后，使铸态组织发生变化， Mo_2C 受到破坏，特别是晶界处的共晶组织基本消除。如图3。

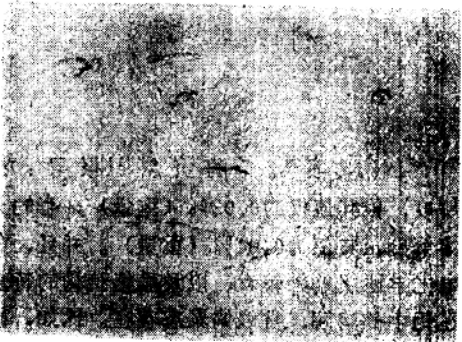


图3 挤压状态500×

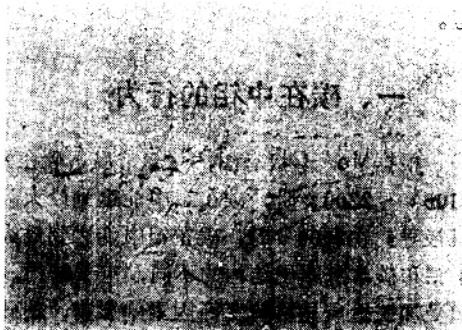


图4 锻造状态500×

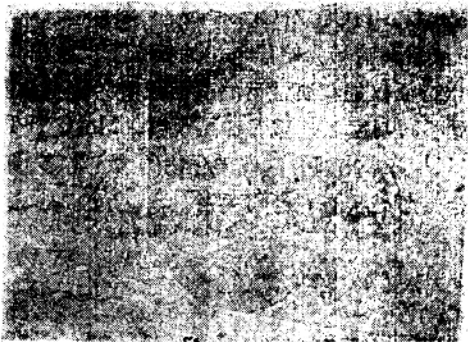


图5 热轧后经1400℃ 30分钟退火500×

3. 锻造加工，可大大改善该合金的显微组织，对碳化物尤其是 Mo_2C 的破碎十分明显，见图4成群分布的小颗粒状物，乃是大块 Mo_2C 锻造后破碎的结果。

4. 热轧可使 Mo_2C 进一步得到充分破碎和趋于均匀分布，至使 Mo_2C 的显微形象失去明显特征。见图5。

5. 热处理

(1) 退火

高温退火，碳化物将明显发生溶解和沉淀现象。 Mo_2C 从 1600°C 开始发生溶解，而 TiC 、 ZrC 从 1600°C 开始以极为弥散的质点从基体中沉淀出来，如图6及图7所示。但加热至 2500°C 以上时，这些碳化物（ Mo_2C 、 TiC 、 ZrC ）基本上完全溶解。

(2) 固溶

该合金加热到 2500°C 以上并快速冷却后，可以使碳化物完全溶解并深留在铝的固溶体中；此时显微硬度变化不大，见图8。

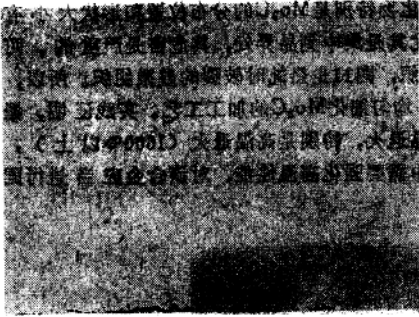


图6 挤压棒 $1600^\circ\text{C}/40$ 分退火 $500\times$

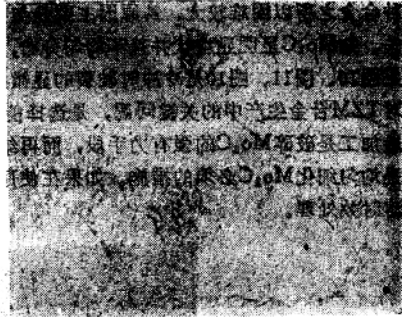


图7 挤压棒 $1800^\circ\text{C}/40$ 分退火 $500\times$

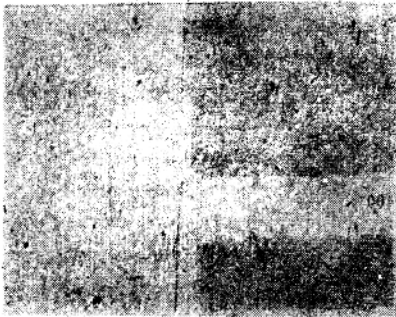


图8 铸态试样， 2500°C 以上温度固溶处理 $400\times$

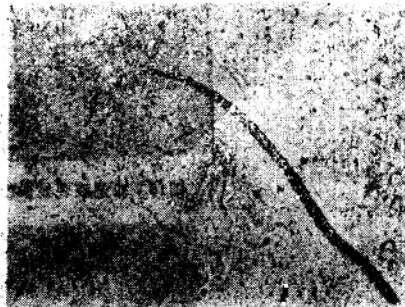


图9 图8试样 $1700\sim 1800/150$ 分时效 $400\times$

(3) 时效：

固溶处理后的试样，在 $1700\sim 1800^\circ\text{C}$ 保温150分钟后，碳化物 TiC 及 ZrC 明显呈细小均匀颗粒状从基体中沉淀出来，见图9，并引起显微硬度增加。此试样在固溶处理前后的显微硬度均在 $220\sim 230\text{kg}/\text{mm}^2$ 之间，而时效处理后的显微硬度（ $1700\sim 1800^\circ\text{C}/150$ 分）提高到 $250\sim 260\text{kg}/\text{mm}^2$ ，但是，硬度的提高并不显著，可能是过时效的原因。资料^[8]报导，固溶处理后的试样，在 $1600\sim 1650^\circ\text{C}$ 下时效，其硬度达到最高值。

三、碳化物的作用

加碳的钼合金提高了再结晶温度和热强性，其原因主要是碳以碳化物的形式存在，并以细小弥散状态均匀分布的结果。但是，碳化物这一有利作用的发挥，完全是在合理的生产工艺下取得的^[1]。否则碳化物将要显示出有害作用。许多资料^[5,6,7,8***]报导，碳不仅可使钼合金造成冷脆性，而且又可使钼合金产生热脆性。实践证明，生产这种合金之所以困难较大，其原因主要是与碳化物特别是 Mo_2C 的分布位置和形状大小有关。如 Mo_2C 呈明显块状并且不均匀分布，尤其是集中到晶界处，其危害是严重的，可见图10、图11、图10是冷冲时破裂的显微组织，图11是热轧时破裂的显微组织。所以，对TZM合金生产中的关键问题，是选择能够均匀细化 Mo_2C 的加工工艺。实践证明，锻造加工是破碎 Mo_2C 的强有力手段，而再结晶退火，特别是高温退火（1600℃以上），是均匀细化 Mo_2C 必须的措施。如果在使用中需要强化高温性能，对该合金应当进行固溶时效处理。

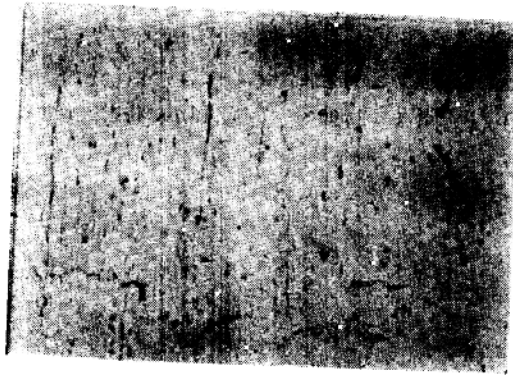


图10 冲型破裂显微组织400×

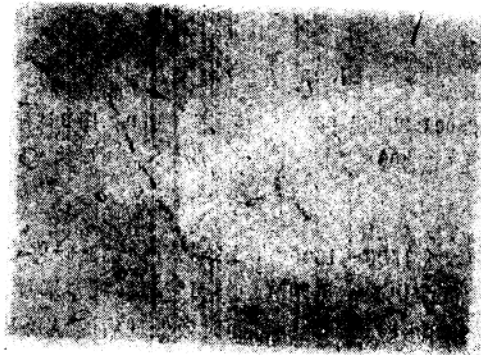


图11 孔型轧制破裂的显微组织400×

参 考 资 料

1. Четная металлургия № 6, 1969г. (96—103)
2. «Металловедение и термическая обработка металлов» № 7, 1970г.
3. Тугоплавкие металлические материалы для комбинской техники.
1965г.
Ю.всфимово……перевод.
4. TZM铝合金薄板工艺总结
沈阳有色金属加工厂 1974年
5. Металловедение и термическая обработка металлов. № 10,
1968г. (2—5)
6. «Металловедение и термическая металлов»
№ 1, 1972г. (12—17)
7. Металловедение и термическая металлов
№ 1, 1968г. (21—24)
8. «Металловедение и термическая металлов»
№ 1, 1972г. (17—21)
9. 钼及钼合金相图谱
沈阳有色金属加工厂
1975年
10. Структура и свойства тугоплавких металлов
Москва «Металлургия» 1974